

凸極同期機의 2相間短絡時에 非短絡相에 誘起되는 端子電壓

論文 12-2

(Open-Phase Voltage for Line-to-Line Fault)

李 晚 築 *

此書

凸極型同期機를 無負荷狀態로 運轉을 할때 갑자기 2相間に 短絡이 突發한 경우 다른 開路相端子에 誘起되는 open-phase voltage의 過渡狀態를 究明하는데 本論文의 目的이 있다. 于先 電機子電壓의 直軸分과 橫軸分을 求하기 爲하여 Blondel氏가 提唱한 理論을 matrix form으로 展開하여 그의 基本電壓力方程式을 確立시키고 이어서 相間短絡電流를 求해 가지고 開路相端子에 誘起되는 異常電壓, 即 open-phase voltage의 値를 $e_a = e_d \cos \theta - e_q \sin \theta + e_0$ 의 關係式에 依據해서 求해보자는 것이다.

論述上의 便宜를 圖謀하기 為해 몇 가지 假定을 마련하는 것이 順序라고 본다.

① 働動捲線이 없는 凸極同期機를 取扱하고, ② 鮑和現象을 無視하며, ③ 直軸上에 主界磁가 存在하는것으로 看做하여, ④ 電機子回路의 抵抗은 僅少值임으로 時定數에 關해서만 影響을 주는 것 以外에는 計算上에서 이를 無視하고, ⑤ 亦是 計算에 나오는 모든 量은 per unit notation 을 使用하고, ⑥ 零相分은 不考慮하며, ⑦ 끝으로 代表的인 同期機定數를 $x_d=0.78$, $x'_d=0.21$, $x_q=0.48$ 및 $E=1$ 로 定해서 究明해보자는 것이다.

本論

一般的으로 전기기기의 voltage drop 은 $e = p(l) + ri = -p\phi + ri$ 를 쓸 수 있다면 voltage rise 는 $e = p(-li) - ri = p\phi - ri$ 를 표시할 수 있다. 但 $p = \frac{d}{dt}$, 그러면 전기기기 각부에誘起되는 電壓은

$$\begin{cases} e_a = p\phi_a - ri_a \\ e_b = p\phi_b - ri_b \end{cases}$$

로 表示되며 여기서 相別鎖交磁束은

$$\psi_i = -l_{ia} i_a - l_{ib} i_b - l_{ic} i_c, \quad j=a, b, c$$

이다.

이것들을 一括해서 한個의 式으로 쓰면

* 漢陽工大 教授

이 되다

다음에는 相磁束, 相電流 및 相電壓에 關한 Blondel 氏의 matrix 方程式을 紹介해 보면

$$\psi_B = \begin{pmatrix} \frac{2}{3}\cos\theta & -\frac{2}{3}\cos(\theta-120) & \frac{2}{3}\cos(\theta+120) \\ -\frac{2}{3}\sin\theta & -\frac{2}{3}\sin(\theta-120) & -\frac{2}{3}\sin(\theta+120) \\ \frac{1}{3} & \frac{1}{3} & \frac{1}{3} \end{pmatrix}$$

6

۴۷

$$i_B = \begin{pmatrix} \frac{2}{3} \cos \theta & -\frac{2}{3} \cos(\theta - 120) & \frac{2}{3} \cos(\theta + 120) \\ -\frac{2}{3} \sin \theta & -\frac{2}{3} \sin(\theta - 120) & -\frac{2}{3} \sin(\theta + 120) \\ \frac{1}{3} & \frac{1}{3} & \frac{1}{3} \end{pmatrix}$$

i

15

$$e_B = \begin{pmatrix} \frac{2}{3} \cos \theta & \frac{2}{3} \cos(\theta - 120) & \frac{2}{3} \cos(\theta + 120) \\ -\frac{2}{3} \sin \theta & -\frac{2}{3} \sin(\theta - 120) & -\frac{2}{3} \sin(\theta + 120) \\ \frac{1}{2} & \frac{1}{2} & \frac{1}{2} \end{pmatrix}$$

⁴ See also the discussion of the concept of "cultural capital" in Bourdieu (1980).

1

는 단絡전류 i 로서 표시될 것이다. 式(3)에 境界條件 $i_a=0$, $i_b=-i_c \equiv i$ 를 대입하면

$$\begin{aligned} i_d &= \frac{2}{3} \cos \theta - \frac{2}{3} \cos(\theta-120) \\ i_q &= -\frac{2}{3} \sin \theta - \frac{2}{3} \sin(\theta-120) \\ i_o &= \frac{1}{3} \quad \frac{1}{3} \\ &\quad \frac{2}{3} \cos(\theta+120) \quad o \\ &- \frac{2}{3} \sin(\theta+120) \quad i \quad \dots \dots \quad (28) \\ &\quad \frac{1}{3} \quad -i \end{aligned}$$

과 같은重要な式을 얻게 됨으로 $b-c$ 相間을 단絡할 때의 단絡전류의 直軸, 橫軸 및 零軸成分은 곧 式(28)에서

$$i_d = \frac{2}{\sqrt{3}} i \sin \theta \quad \dots \dots \quad (29)$$

$$i_q = -\frac{2}{\sqrt{3}} i \sin \theta \quad \dots \dots \quad (30)$$

$$i_o = 0 \quad \dots \dots \quad (31)$$

과 같이求め진다. 따라서 式(27)에 式(29), (30)을 대입해서 簡單히 整理하면

$$\begin{aligned} \phi &= \sqrt{3} \Phi \sin \theta - (x'_d + x_q) i \\ &- (x_q - x'_d) i \cos 2\theta \quad \dots \dots \quad (32) \end{aligned}$$

의 關係式을 얻을 것이다.

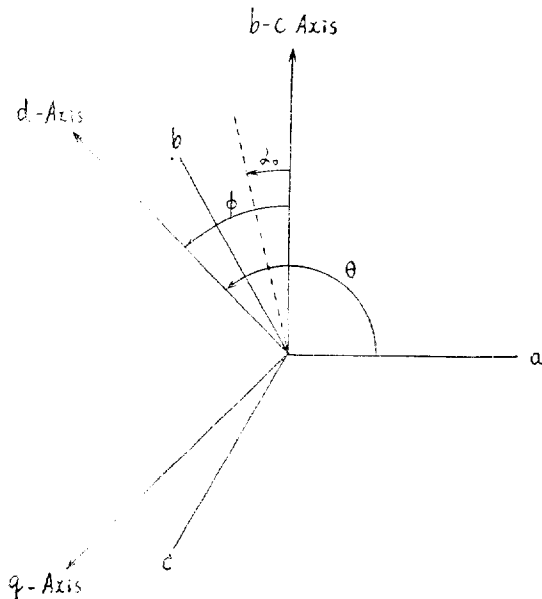


Fig. 2.—Phase-axis relations with respect to short circuit axis($b-c$ axis).

圖 2와 式(32)에서 明白한바와 같이 단絡전류는勿論 $i=0$ 이며 a 相이 基準이 되므로

$$\phi = \sqrt{3} \Phi \sin \theta = \sqrt{3} \sin[\theta + (90^\circ + \alpha_o)]$$

即

$$\phi = \sqrt{3} \Phi \cos(t + \alpha_o) \quad \dots \dots \quad (33)$$

이 되며 또一方 단絡후에는 $b-c$ 軸이 基準이 되므로

$$\phi = \sqrt{3} \Phi \sin \phi = \sqrt{3} \Phi \sin(90^\circ + \alpha_o) \quad \dots \dots \quad (34)$$

$$= \sqrt{3} \Phi \cos \alpha_o$$

가 成立할 것이다. 그러므로 短絡瞬間을 境界로 해서 鋼交磁束의 變化分 式(33)과 (34)를 式(32)에 대입하면

$$\begin{aligned} \sqrt{3} \Phi \cos \alpha_o &= \sqrt{3} \Phi \cos(t + \alpha_o) - (x_q + x'_d) i \\ &+ (x_q - x'_d) i \cos 2(t + \alpha_o) \end{aligned}$$

이 되고 여기서

$$i = \frac{\sqrt{3} \Phi [\cos(t + \alpha_o) - \cos \alpha_o]}{(x_q + x'_d) - (x_q - x'_d) \cos 2(t + \alpha_o)} \quad \dots \dots \quad (35)$$

$\alpha_o = 0^\circ$ 인 경우 即 短絡瞬間을 考慮한다면 上式은

$$i = \frac{\sqrt{3} \Phi (\cos t - 1)}{(x_q + x'_d) - (x_q - x'_d) \cos 2t} \quad \dots \dots \quad (36)$$

와 如하 相間 단絡과 同時に 흘르는 전류가 求해진다. 式(36)을 式(29), (30)에 대입하면 곧 단絡전류의 直軸成分 및 橫軸成分이 求해지는데 그것은 각각 다음과 같다.

即

$$i_d = \frac{2E \cos t (\cos t - 1)}{\alpha - \beta \cos 2t} \quad \dots \dots \quad (37)$$

$$i_q = -\frac{2E \sin t (\cos t - 1)}{\alpha - \beta \cos 2t} \quad \dots \dots \quad (38)$$

여기서 $\alpha = x_q + x'_d$, $\beta = x_q - x'_d$ 로 놓은 것이다

原來 damping 을 無視한 경우를 取扱함으로 $\Phi = I = E$ 的 條件이 成立하고 따라서 Φ 대身에 E 를 置換한 것이다.

다음에는 우리가 完明로저 하는 open-phase voltage e_a 를

$$e_a = e_d \cos \theta - e_q \sin \theta + e_o \quad \dots \dots \quad (39)$$

의 關係式에서 求할 수 있음으로 먼저 e_d 와 e_q 를 求해보는 것이 順序라고본다. 式(22), (23)에서 規定해 놓은 e_d 및 e_q 이

$$I = E + (x_d - x'_d) i_d$$

의 關係를 대입하면

$$e_d = x_q i_q - x'_d p i_d \quad \dots \dots \quad (40)$$

$$e_q = E - x'_d i_d - x_q p i_d \quad \dots \dots \quad (41)$$

와 같이 각각 變更된 結果式을 얻는다.

그런데 式(40)은

$$e_d = -\frac{2x_q E \sin t (\cos t - 1)}{\alpha - \beta \cos 2t}$$

$$- x'_d \frac{d}{dt} \left[\frac{2E \cos t (\cos t - 1)}{\alpha - \beta \cos 2t} \right]$$

이即

$$e_d = -\frac{2x_q E \sin t (\cos t - 1)}{\alpha - \beta \cos 2t}$$

$$-\frac{x'dE}{(\alpha-\beta \cos 2t)^2} [\beta \sin 3t - 2(\alpha+\beta) \sin 2t + (2\alpha+3\beta) \sin t] \quad \dots \dots \dots (42)$$

로 計算이 되며 또 式(41)의 e_q 는

$$\begin{aligned} e_q = & E - \frac{2x'dE \cos t (\cos t - 1)}{\alpha - \beta \cos 2t} \\ & - \frac{x_q E}{(\alpha - \beta \cos 2t)^2} [-\beta \cos 4t + 3\beta \cos 2t \\ & - 2\alpha \cos 2t + (2\alpha - 5\beta) \cos t + 3\beta] \end{aligned} \quad \dots \dots \dots (43)$$

와 같이 計算이 된다.

여기서 얻은 e_d , e_q 를 式(39)에 代入한다면 非短絡相에 나타나는 異常電壓 e_a 를 求할 수 있다. 圖2의 vector diagram과 式(24)를 參照하면 式(39)를 다음과 같이 變更할 수 있다.

即

$$\begin{aligned} e_a = & -e_d \sin(t + \alpha_0) - e_q \cos(t + \alpha_0) \\ & + p(-x_0 i_0) - r i_0 \end{aligned}$$

여기서 短絡瞬間에는 $\alpha_0=0$, $i_0=0$ 인 故로

$$e_a = -e_d \sin t - e_q \cos t \quad \dots \dots \dots (44)$$

이것이 非短絡相의 端子電壓을 求하는 最終式이 되며 따라서 위에서 얻은 式(42), (43)의 e_d 와 e_q 를 式(44)에 代入하여 算出하면 所期의 目的을 達하게된다.

그러므로

$$\begin{aligned} e_a = & \frac{x_q E \sin t (\sin 2t - 2 \sin t)}{\alpha - \beta \cos 2t} \\ & + \frac{x'_d E \sin t}{(\alpha - \beta \cos 2t)^2} [\beta \sin 3t - 2(\alpha + \beta) \sin 2t \\ & - (2\alpha + 3\beta) \sin t - E \cos t \\ & + \frac{x_d E \cos t (\cos 2t - 2 \cos t + 1)}{\alpha - \beta \cos 2t} \\ & + \frac{x_q E \cos t}{(\alpha - \beta \cos 2t)^2} [-\beta \cos 4t + 3\beta \cos 3t - 2\alpha \cos 2t \\ & + (2\alpha - 5\beta) \cos t + 3\beta] \end{aligned}$$

上式을 簡単히 整理하면

$$\begin{aligned} e_a = & -E \cos t + \frac{E}{\alpha - \beta \cos 2t} \left[-\frac{1}{2}(x_q - x'_d) \cos 3t \right. \\ & + (x_q - x'_d) \cos 2t + \frac{1}{2}(x_q + 3x'_d) \cos t \\ & - (x_q + x'_d) \left. \right] + \frac{E}{(\alpha - \beta \cos 2t)^2} \left\{ -\frac{x_q \beta}{2} \cos 5t \right. \\ & - \frac{\beta}{2} (x'_d - 3x_q) \cos 4t - [\alpha(x_q - x'_d) \\ & + \frac{\beta}{2} (x_q - 2x'_d)] \cos 3t - [\alpha(x_q - x'_d) \\ & - \beta(x_q + x'_d)] \cos 2t - [\alpha(x_q + x'_d) \\ & - \beta(3x_q - x'_d)] \cos t + [\alpha(x_q + x'_d) \\ & \left. - \frac{\beta}{2} (5x_q - 3x'_d) \right\} \end{aligned}$$

와 같이 되고 또는

$$\begin{aligned} e_a = & -E \cos t + \frac{E}{\alpha - \beta \cos 2t} \left[-\frac{\beta}{2} \cos 3t \right. \\ & + \beta \cos 2t + \frac{1}{2} (\alpha + 2x'_d) \cos t - \alpha \left. \right] \\ & + \frac{E}{(\alpha - \beta \cos 2t)^2} \left\{ -\frac{x_q \beta}{2} \cos 5t \right. \\ & + \frac{\beta}{2} (2x_q + \beta) \cos 4t - \beta \left[\alpha + \frac{\beta - x'_d}{2} \right] \cos 3t \\ & - [\alpha^2 - \beta(\beta + 2x_q)] \cos t \\ & \left. + [\alpha^2 - \beta x_q + 3\beta] \right\} \end{aligned} \quad \dots \dots \dots (45)$$

로 된다. 여기서 $\alpha = x_q + x'_d$, $\beta = x_q - x'_d$ 이다. 우리는 同期機定數를 $x_d = 0.78$, $x'_d = 0.21$, $x_q = 0.48$ 및 $E = 1$ 로 定했음으로 이것들을 式(45)에 代入해서 1st. cycle 分을 그려보기 爲하여 아래와 같이 計算한다.

$$\begin{aligned} e_a = & -\cos t + \frac{1}{0.69 - 0.27 \cos 2t} (-0.135 \cos 3t \\ & + 0.27 \cos 2t + 0.56 \cos t - 0.69) \\ & + \frac{1}{(0.69 - 0.27 \cos 2t)^2} (-0.065 \cos 5t \\ & + 0.166 \cos 4t - 0.194 \cos 3t - 0.144 \cos t \\ & + 0.237) \end{aligned} \quad \dots \dots \dots (46)$$

式(46)을 圖示하고자 t 의 函數로서 e_a 의 値을 求한結果 아래와 같은 表1을 얻게되면 그것의 1st. cycle 分을 plot하면 圖3과 같다.

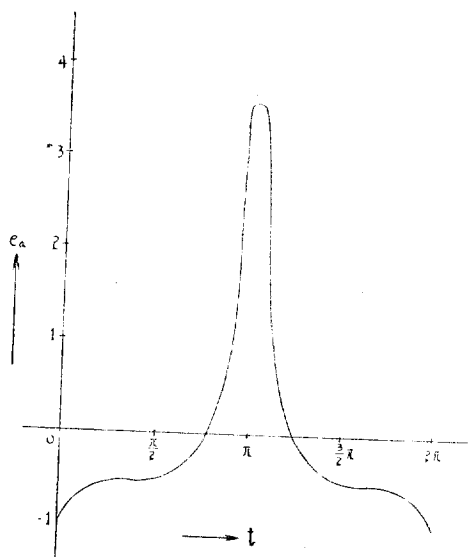


Fig. 3—Wave form of open-phase voltage for a line-to-line short circuit from no-load.

表 1. Data from equation (46)

t	0	$\frac{\pi}{4}$	$\frac{\pi}{2}$	$\frac{3\pi}{4}$	π	$\frac{5\pi}{4}$	$\frac{3\pi}{2}$	$\frac{7\pi}{4}$	2π
e_a	-1	-0.52	-0.56	-0.105	-3.58	-0.105	-0.56	-0.52	-1

結論

以上으로써 2相間短絡時에 非短絡相의 端子電壓에 어떤 變化를 衍來할것인가를 理論的으로 充明하였다. 一般的으로 制動捲線이 無한 同期機가 制動捲線이 有한 同期機보다 open-phase voltage 가 훨씬 큰 値를 갖는다는 點에서 本論의 意義가 있다고 보겠다. 獨自의 方法으로 式(45)를 誘導해 봤대 對한 滿足을 느끼나 読者諸賢의 아낌없는 批判을 바란다.

參考文獻

1. Westinghouse Central Station Engineers, "Electrical Transmission and Distribution Reference Book," Westinghouse Electric Corporation, East Pittsburgh, Pennsylvania; 1950, pp. 177—179.

(1963年 11月 27日 接受)